

APPLYGEN

Innovating for life science since 2004



## Western Blot解决方案

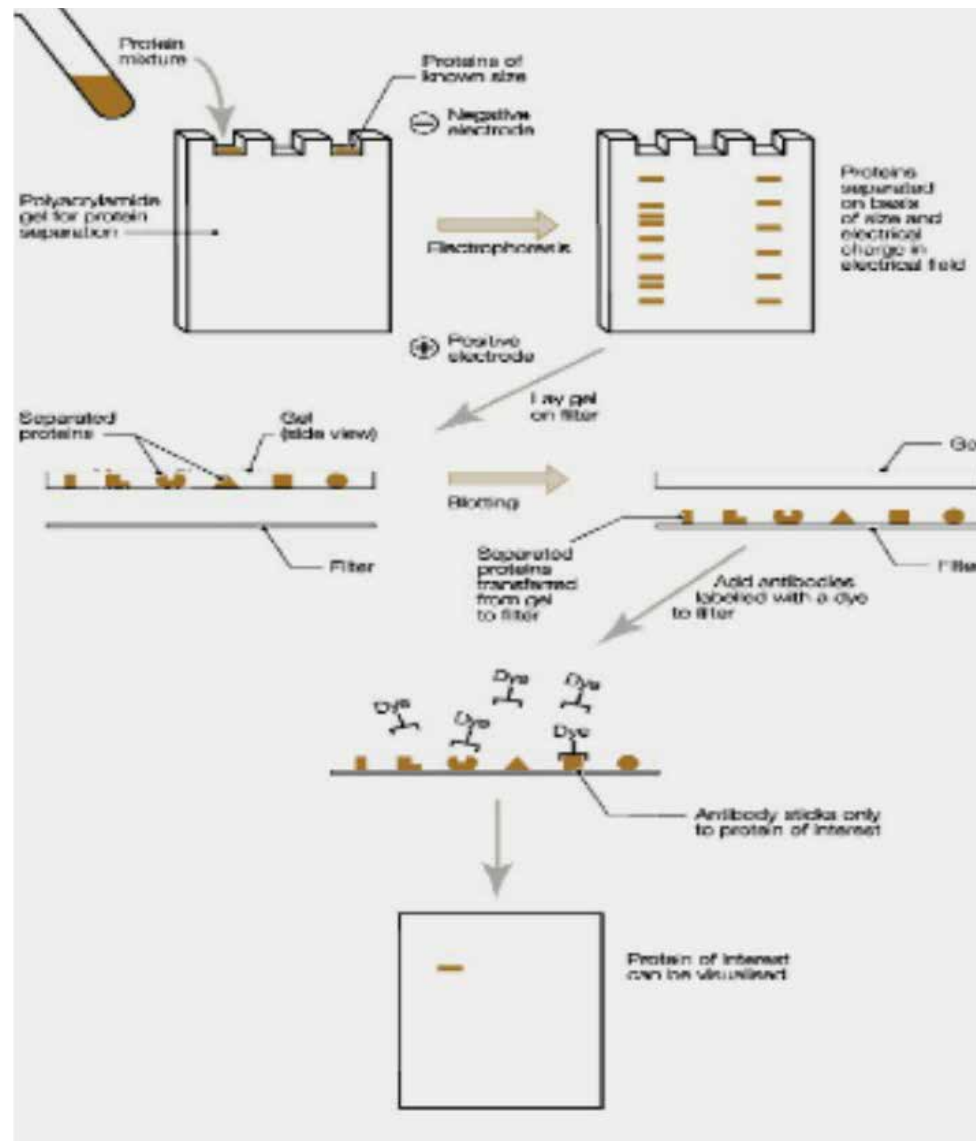


北京普利莱基因技术有限公司  
BEI JING APPLYGEN TECHNOLOGIES CO., LTD.  
地址: 北京市昌平区振兴路36号院2号楼330  
电话: 010-62053186 网址: www.applygen.com

北京普利莱基因技术有限公司  
BEIJING APPLYGEN GENE TECHNOLOGY CO., LTD

# Western Blot

免疫印迹即 Western Blot, 是分子生物学、生物化学和免疫遗传学中最常用的经典实验方法之一, 是将获得的蛋白质样品通过 SDS-聚丙烯酰胺凝胶电泳分离后, 转印至固相支持物 (NC 膜或 PVDF膜) 上, 而后用相应的非标记的一抗和经过特殊酶标记的二抗来检测目的蛋白的一种方法, 步骤繁杂, 耗时较长。普利莱专注自主研发, 深耕蛋白领域 20 余年, 自主创新, Western Blot 一站式解决方案从蛋白提取定量、电泳、转膜、封闭、免疫反应一直到最后的显影发光, 产品研发旨在不断提升实验效率和结果的准确性、重现性, 以满足用户得到卓越的免疫印记实验结果。



# Western Blot 相关产品

## 蛋白提取

**裂解液** 非变性蛋白裂解液C1050、组织细胞裂解液 (含脱氧胆酸钠) C1051、变性细胞裂解液 C1052、RIPA裂解液C1053、加强型RIPA裂解液C1053+、IP裂解液C1054、RIPA裂解液 (带 PMSF)C1055、高脂样本蛋白裂解液C1056、NP-40裂解液C1057、液体样本总蛋白提取试剂 P1255、植物总蛋白提取试剂P1258、骨蛋白提取试剂P1259、细菌总蛋白非变性提取试剂 P1270、细菌总蛋白变性提取试剂P1271

**抑制剂** 磷酸酯抑制剂混合物通用型(All-in-One,100x) P1260、蛋白酶抑制剂混合物通用型(Cocktail,100x in DMSO) P1275

**提取试剂盒** 细胞核蛋白和胞浆蛋白制备试剂盒P1200、细胞核-胞浆蛋白-胞膜制备试剂盒P1201、细胞核蛋白提取试剂盒P1202、细胞膜蛋白提取试剂盒P1203、线粒体和胞浆蛋白制备试剂盒 (组织和细胞通用) C1260、组织细胞总蛋白提取试剂盒P1250、升级版线粒体提取试剂盒 (组织和细胞通用) C0010

## 蛋白定量

BCA法蛋白定量试剂盒P1511、蛋白定量BSA标准品 (4mg/ml) P1512、BCA法微量蛋白定量试剂盒 P1513、考马斯亮蓝法蛋白质定量试剂盒 (Bradford法) P1510、改良Lowry法蛋白定量试剂盒P1509

## 样本处理

SDS-PAGE Loading Buffer蛋白上样缓冲液 (常用) B1007和B1012、SDS-PAGE非还原性蛋白上样缓冲液 (不含还原剂) B1030和B1031、SDS-PAGE非变性蛋白上样缓冲液 (不含SDS和还原剂) B1032和 B1033、SDS-PAGE 无气味蛋白上样缓冲液B1034

## 电泳

**蛋白Marker** 预染色蛋白高分子量marker (10KDa-250KDa) P1101-50、预染色蛋白Marker (10KDa-180KDa) (进口原料) P1103、预染色蛋白高分子量Marker (40KDa-300KDa) P1110-50、Western荧光Marker (可显影) 12-154KDa P1106

**配胶试剂盒** UltraGel宽范围高分辨配胶试剂盒 (全能胶) AP0001、SDS-PAGE配胶试剂盒(便捷款)(6%、8%、10%、12%、12.5%、15%不同浓度)、红色SDS-PAGE配胶试剂盒(便捷款)(6%、8%、10%、12%、12.5%、15%不同浓度)、一步法SDS-PAGE凝胶快速制备试剂盒 (6%、8%、10%、12.5%、15%不同浓度)

**预制胶** Tris-Glycine系列蛋白预制胶、Bis-Tris系列蛋白预制胶、Hepes系列缓冲系统蛋白预制胶

**电泳液或粉末** 10×快速电泳液B2005、10×电泳缓冲液Tris-GlyB1005、快速电泳液粉末B1221-1、Tris-Gly电泳缓冲液粉末B1216-1

## 转膜

**转膜液** 10×快速转膜液B2006、10×蛋白电转缓冲液 (转膜液) B1006、10×蛋白电转缓冲液 (半干转) B1028、快速转膜液粉末B1222-1、电转缓冲液粉末B1215-1

**膜染色剂** 膜立染(丽春红替代品) P1503、丽春红染色液P1600、膜-胶10秒快速染色液(染胶染膜) P1601

## 封闭

无蛋白快速封闭液P1626、封闭用牛血清白蛋白 (进口分装) P1621、封闭专用脱脂奶粉 (进口分装) P1622、Western Blot快速封闭液P1623

## 抗体孵育

一抗稀释液 (通用型) C1240、Western Blot一抗稀释液C1243、Western Blot二抗稀释液C1241、Western Blot一抗+二抗稀释液套装C1242、膜再生液(抗体去除液、抗体剥离液) 温和型P1650、膜再生液(抗体去除液、抗体剥离液) 加强型P1652、抗体长效保存液 C1231、各类内参抗体、标签抗体、一抗、二抗

## 显影发光

ECL发光液(与P1020通用) P1000、ECL超敏发光液(中)(与P1030通用) P1010、Super ECL Plus超敏发光液 (强) P1050、Super ECL Plus+超敏发光液 (高强) P1052、飞克级ECL超敏发光液 (极强) P1060、飞克+皮克ECL超敏发光液W0001

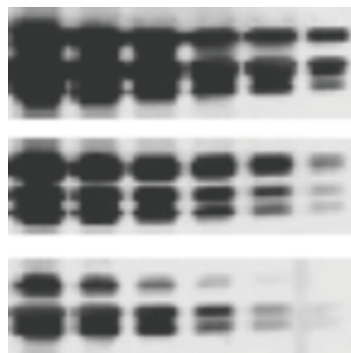
普利莱专注自主研发 深耕蛋白领域20+年

## 明星产品：ECL 化学发光液

ECL 发光液是基于 Luminol 的化学发光底物试剂，可直接或间接检测与辣根过氧化物酶 HRP 关联的蛋白或核酸底物。作为国内最早推出 ECL 发光液的国产品牌，普利莱 ECL 发光液具有发光迅速、灵敏度高、实验效果好等优点，作为进口品牌平替产品，品质一直在线，单品发表的 SCI 文章 2000+。

### Super ECL Plus 超敏发光液（强）P1050 特点

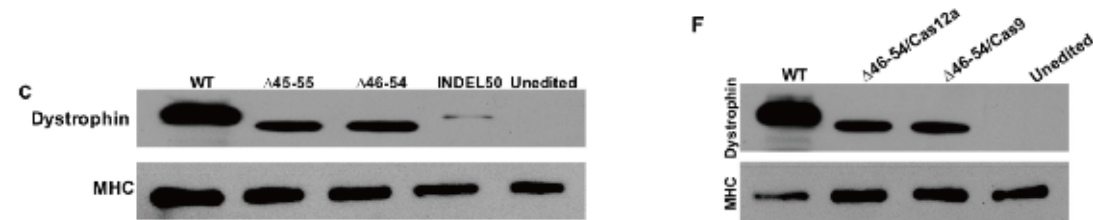
- ★ 线性动态范围更广：不同丰度的蛋白经过不同发光时间都能被检测并精确定量
- ★ 灵敏度高：是普通 DAB 显色的 1000 倍以上，节省抗体，可获得更优秀的结果
- ★ 稳定性更高：采用特异发光配方，发光时间长，荧光衰减慢，可从容安排实验和检测之间的时间
- ★ 强度更强：采用精准发光底物，有效降低非特异发光和背景发光



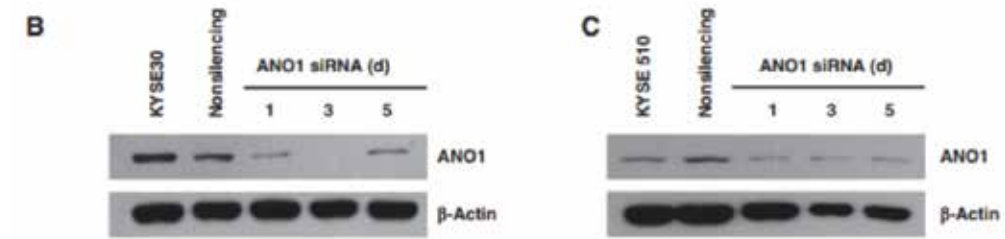
普利莱 Super ECL Plus 超敏发光液 P1050，曝光 30 秒  
进口公司 SuperSignal West Pico 底物，曝光 30 秒  
Amersham 公司 ECLTM 系统，曝光 30 秒

### 使用 ECL 超敏发光液效果展示：

文献来源：Chen M, Shi H, Gou S, et al. In vivo genome editing in mouse restores dystrophin expression in Duchenne muscular dystrophy patient muscle fibers[J]. Genome Medicine, 2021, 13(1): 1-19 IF:15.266

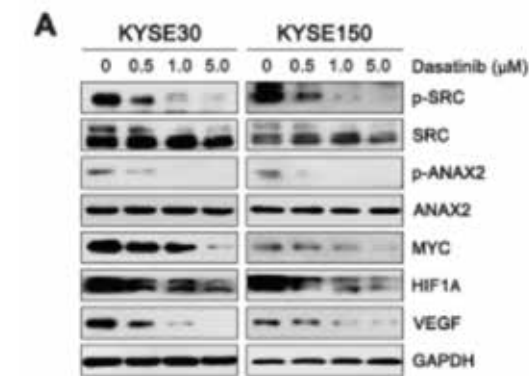


文献来源：Shi Z Z, Shang L, Jiang Y Y, et al. Consistent and Differential Genetic Aberrations between Esophageal Dysplasia and Squamous Cell Carcinoma Detected By Array Comparative Genomic Hybridization Genomic Aberrations in Esophageal Carcinogenesis[J]. Clinical Cancer Research, 2013, 19(21): 5867-5878 IF:13.8015



B and C, knockdown of ANO1 inhibited the proliferation of KYSE30 (B) and KYSE510 cells (C).

文献来源：Ma S, Lu C C, Yang L Y, et al. ANXA2 promotes esophageal cancer progression by activating MYC-HIF1A-VEGF axis[J]. Journal of Experimental & Clinical Cancer Research, 2018, 37: 1-13. IF:12.658



### 相关产品

货号	产品名称	规格
P1000-25	ECL 发光液（与 P1020 通用）	12.5ml*2
P1000-100	ECL 发光液（与 P1020 通用）	50ml*2
P1000-250	ECL 发光液（与 P1020 通用）	125ml*2
P1000-500	ECL 发光液（与 P1020 通用）	250ml*2
P1010-25	ECL 超敏发光液（中（与 P1030 通用）	12.5ml*2
P1010-100	ECL 超敏发光液（中（与 P1030 通用）	50ml*2
P1010-250	ECL 超敏发光液（中（与 P1030 通用）	125ml*2
P1010-500	ECL 超敏发光液（中（与 P1030 通用）	250ml*2
P1050-25	Super ECL Plus 超敏发光液（强）	12.5ml*2
P1050-100	Super ECL Plus 超敏发光液（强）	50ml*2
P1050-250	Super ECL Plus 超敏发光液（强）	125ml*2
P1050-500	Super ECL Plus 超敏发光液（强）	250ml*2
P1052-100	Super ECL Plus+ 超敏发光液（高强）	50ml*2
P1052-500	Super ECL Plus+ 超敏发光液（高强）	250ml*2
P1060-25	飞克级极敏发光液（极强）	12.5ml*2
P1060-100	飞克级极敏发光液（极强）	50ml*2

## 部分引用文章节选:

Cai J, Zhang W, Lu Y, et al. Single-cell exome sequencing reveals polyclonal seeding and TRPS1 mutations in colon cancer metastasis[J]. *Signal Transduction and Targeted Therapy*, 2024, 9(1): 247 (IF:40.8)

Kong D, Li C, Ma L Y, et al. Identifying genetic targets in clinical subtypes of Parkinson's disease for optimizing pharmacological treatment strategies[J]. *Signal Transduction and Targeted Therapy*, 2024, 9(1): 320 (IF:40.8)

Su Y, Sun X, Liu X, et al. hUC-EVs-ATO reduce the severity of acute GVHD by resetting inflammatory macrophages toward the M2 phenotype[J]. *Journal of hematology & oncology*, 2022, 15(1): 99 (IF:23.2)

Zhang Y, Du XL, Wang CJ, et al. Reciprocal activation between PLK1 and Stat3 contributes to survival and proliferation of esophageal cancer cells. *Gastroenterology*. 2012;142(3):521-530.e3. doi:10.1053/j.gastro.2011.11.023 (IF:29.4)

Li Y Q, Sun F Z, Li C X, et al. RARRES2 regulates lipid metabolic reprogramming to mediate the development of brain metastasis in triple negative breast cancer[J]. *Military Medical Research*, 2023, 10(1): 34 (IF:21.1)

Na J, Yang Z, Shi Q, et al. Extracellular matrix stiffness as an energy metabolism regulator drives osteogenic differentiation in mesenchymal stem cells[J]. *Bioactive materials*, 2024, 35: 549-563 (IF:18.0)

Zhou, X., Zhang, C., Wu, X. et al. Dusp6 deficiency attenuates neutrophil-mediated cardiac damage in the acute inflammatory phase of myocardial infarction. *Nat Commun* 13, 6672 (2022) (IF:17.7)

H. Zhang, S. Liu, Q. Qin, et al. Genetic and Pharmacological Inhibition of Astrocytic Mym1 Alleviates Depressive-Like Disorders by Promoting ATP Production. *Adv. Sci.* 2022, 10, 2204463 (IF:17.5)

Xiaolin Wang, Hui Wang, Zhengjing Lu, et al. Spatial and Single-Cell Analyses Reveal Heterogeneity of DNAM-1 Receptor–Ligand Interactions That Instructs Intratumoral  $\gamma\delta$ T-cell Activity. *Cancer Res* 15 January 2025; 85 (2): 277–298 (IF:16.6)

Q. Liu, Z. Xie, M. Qiu, et al. Prodrug-Loaded Zirconium Carbide Nanosheets as a Novel Biophotonic Nanoplatform for Effective Treatment of Cancer. *Adv. Sci.* 2020, 7, 2001191 (IF:15.8)

Zhou, Z., Liu, Y., Wang, Y. et al. Engineering aptamer-directed phosphatase recruiting chimeras: a strategy for modulating receptor function and overcoming drug resistance. *Nat Commun* 16, 3919 (2025) (IF:15.7)

Luo, Q., Wang, C., Qiao, S. et al. Surface lipoprotein sorting by crosstalk between Lpt and Lol pathways in gram-negative bacteria. *Nat Commun* 16, 4357 (2025) (IF:15.7)

Yuan, Q., Tang, B., Xie, Y. et al. PRDM16 deficiency promotes podocyte injury by impairing insulin receptor signaling. *Cell Death Differ* 32, 1536–1554 (2025) (IF:15.4)

Li, Y., Chen, L., Xue, S. et al. Alternative spliceosomal protein Eftud2 mediated Kif3a exon skipping promotes SHH-subgroup medulloblastoma progression. *Cell Death Differ* (2025) (IF:15.4)

Muxin Yue, Yongsheng Zhou, Zheng Li. Macrophage lysate-derived cytokine network combined with silk fibroin hydrogel promotes diabetic vascularized bone regeneration, *Chemical Engineering Journal*, 2024, 151892, ISSN 1385-8947 (IF:15.1)

Gongxi Qiao, Xuming Pan, Mengyun He, et al. An ultrathin Zn-based layered double hydroxides augment degradation of mutant p53 to improve tumor therapy, *Chemical Engineering Journal*, Volume 475, 2023 (IF:15.1)

Ma T, Liu X, Su H, et al. Coupling of Perinuclear Actin Cap and Nuclear Mechanics in Regulating Flow - Induced Yap Spatiotemporal Nucleocytoplasmic Transport[J]. *Advanced Science*, 2024, 11(11): 2305867 (IF:15.1)

Zhe Zhao et al., Encoding of social novelty by sparse GABAergic neural ensembles in the prelimbic cortex. *Sci. Adv.* 8, eabo4884(2022) (IF:14.9)

Wan Li, Hongqing Cai, Liwen Ren, et al. Sphingosine kinase 1 promotes growth of glioblastoma by increasing inflammation mediated by the NF- $\kappa$ B /IL-6/STAT3 and JNK/PTX3 pathways, *Acta Pharmaceutica Sinica B*, Volume 12, Issue 12, 2022 (IF:14.9)

Li F, Zhang Z, Shi Q, et al. Thermal proteome profiling (TPP) reveals NAMPT as the anti-glioma target of phenanthroindolizidine alkaloid PF403[J]. *Acta Pharmaceutica Sinica B*, 2025 (IF:14.7)

Khan I, Li S, Tao L, et al. Tubeimosides are pan-coronavirus and filovirus inhibitors that can block their fusion protein binding to Niemann-Pick C1[J]. *Nature Communications*, 2024, 15(1): 162 (IF:14.7)

Fu, S., Sun, H., Wang, J., et al. Impaired neuronal macroautophagy in the prelimbic cortex contributes to comorbid anxiety-like behaviors in rats with chronic neuropathic pain. *Autophagy*, 20(7), 1559–1576 (IF:14.6)

Du T T, Wang L, Duan C L, et al. GBA deficiency promotes SNCA/ $\alpha$ -synuclein accumulation through autophagic inhibition by inactivated PPP2A[J]. *Autophagy*, 2015, 11(10): 1803-1820 (IF:14.6)

Wang L, Gao Y, Zheng X, et al. Histone modifications regulate chromatin compartmentalization by contributing to a phase separation mechanism[J]. *Molecular cell*, 2019, 76(4): 646-659. e6. (2019) (IF:14.5)

Su W, Ahmad I, Wu Y, et al. Furin Egress from the TGN is Regulated by Membrane - Associated RING - CH Finger (MARCHF) Proteins and Ubiquitin - Specific Protease 32 (USP32) via Nondegradable K33 - Polyubiquitination[J]. *Advanced Science*, 2024, 11(35): 2403732 (IF:14.3)

Yuan, J., Ma, J., Zhang, F., et al. Neutrophil-derived serine proteases induce FOXA2-mediated autophagy dysfunction and exacerbate colitis-associated carcinogenesis via protease activated receptor 2. *Autophagy*, 1–18 (IF:14.3)

Zhang Y, Qiao Y, Li Z, et al. Intestinal NSD2 Aggravates Nonalcoholic Steatohepatitis Through Histone Modifications[J]. *Advanced Science*, 2024: 2402551 (IF:14.3)

## 独创产品

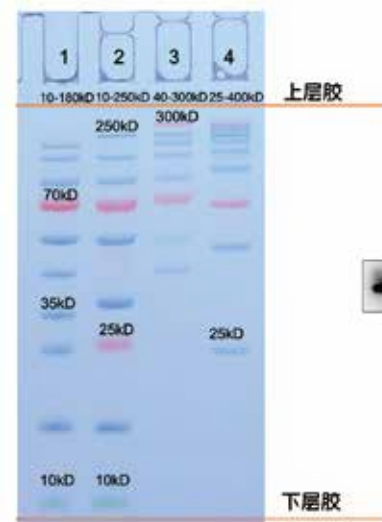
### UltraGel宽范围高分辨配胶试剂盒（全能胶）

货号	产品名称	规格
AP0001-1	UltraGel宽范围高分辨配胶试剂盒（全能胶）	30-50 次
AP0001-2	UltraGel宽范围高分辨配胶试剂盒（全能胶）	80-100 次

普利莱专注自主研发，深耕蛋白研究领域 20 余年，深度挖掘SDS-PAGE蛋白凝胶电泳基本理论并结合结合既往产品实践经验，经研发优选，全新推出可以同时分离10-300kDa宽范围大小条带、分辨率高、电泳速率快的通用系统，即UltraGel宽范围高分辨配胶试剂盒（全能胶）。

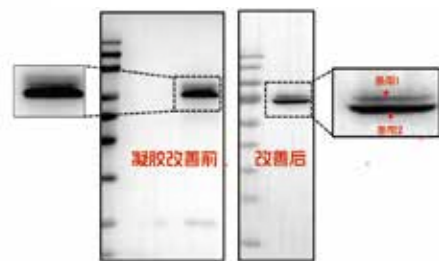
#### 特点

- ★ 广谱：单一浓度一块凝胶可同时分离10-300kDa条带
- ★ 超清：分辨率更高，条带锐利，特别适合蛋白修饰检测
- ★ 便捷：即用即配，操作简单，无需计算
- ★ 快速：搭配普利莱快速电泳液，半个小时即可完成电泳
- ★ 兼容性好：兼容后续常规转膜条件



一个浓度搞定所有蛋白（10-300KD）

通过凝胶将相差 2kDa的蛋白分开



相同的蛋白突变用不同的凝胶跑WB

- 1.左边的图为市面上普通的凝胶，无法区分糖基化修饰的蛋白。
- 2.右边的图为本公司自主研发产品UltraGel广谱超清配胶试剂盒，条带锐利，边缘锋利，蛋白的糖基化修饰清晰可见

分辨率高：可分辨差异低至 2KD 的糖基化蛋白

## 独创产品

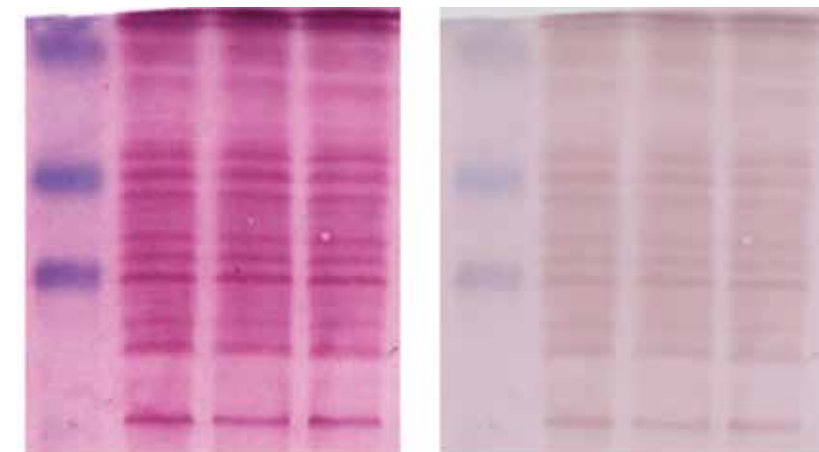
### 膜立染（立春红替代品）

货号	产品名称	规格
P1503	膜立染（立春红替代品）	100ml

膜立染（立春红替代品）即 MemGel Stain 是一种瞬时可逆染色液，不含有毒化学品，可对 PVDF 和 NC膜快速染色，灵敏度极高，可检测 10ng 蛋白条带，而丽春红膜染色灵敏度为 1000ng，苏丹黑为 500ng。不使用醋酸和甲醇等有毒物质，染色剂直接溶于水。膜染色 10 秒钟即可完毕，条带清晰为紫褐色，背景染色极低。新鲜或陈旧的干燥膜均可染色。染色条带清晰不退色，可直接扫描或照相。染色完全可逆，染过的膜在含 0.05% Tween 20 的封闭液封闭即可脱色，但也可在碱性条件下数秒内完全脱色。不影响后续 Western Blot。适用于硝酸纤维素膜、PVDF 膜、尼龙膜。用于监测蛋白转膜，膜染色蛋白条带可用做 Western Blot 内对照膜染色液可以反复回收使用 2-4 次。

#### 特点

- ★ 安全无毒，操作简单快速
- ★ 灵敏度极可检测 10 ng 蛋白条带
- ★ 条带清晰，背景低，可重复使用多次
- ★ 适用性广，兼容性强，不影响后续实验



MemGel Stain（左）与丽春红（右）染色的比较

硝酸纤维素转移膜蛋白染色。同一张膜先用丽春红染色（右图），然后洗去染色，接着用 MemGel Stain 染色（左图）。MemGel Stain 染色条带清晰锐利，灵敏度高。

## 特色产品

### 细胞核蛋白胞浆蛋白制备

在进行细胞研究时，经常要研究不同的亚细胞组分，其中研究最多应用最广的就是细胞核和细胞浆两类。因此分离细胞核蛋白和胞浆蛋白，不仅可以用于分析蛋白在细胞内的定位和分布，也可以用于研究核蛋白的转录调控。

普利莱提供两种细胞核和细胞浆蛋白制备方案：

#### 细胞核蛋白 - 胞浆蛋白制备试剂盒 (Nuclear-Cytosol Extraction Kit)

货号	产品名称	规格
P1200-50	细胞核蛋白和胞浆蛋白制备试剂盒	50 次
P1200-100	细胞核蛋白和胞浆蛋白制备试剂盒	100 次

试剂盒提供了一种简单、方便的从哺乳动物组织和细胞制备核蛋白和胞浆蛋白的方法，制备过程可在 1 小时内完成。操作过程中应用胞浆蛋白提取试剂，在低渗透压条件下，使细胞充分膨胀，然后破坏细胞膜，释放出胞浆蛋白，然后通过离心得到细胞核沉淀。最后通过高盐细胞核蛋白提取试剂破碎细胞核从而得到细胞核蛋白。制备的核蛋白和胞浆蛋白不仅纯度高，而且绝少交叉污染；可胜任转录活性分析、凝胶阻滞实验 (gel shift assay)、免疫共沉淀、Western Blot、酶活性测定等。

#### 细胞核 - 胞浆 - 胞膜制备试剂盒 (Nuc-Cyto-Mem Preparation Kit)

货号	产品名称	规格
P1201-50	细胞核 - 胞浆蛋白 - 胞膜制备试剂盒	50 次
P1201-100	细胞核 - 胞浆蛋白 - 胞膜制备试剂盒	100 次

试剂盒能够从哺乳动物新鲜或冻存的组织块、贴壁或悬浮细胞中制备细胞核、细胞膜与胞内质膜、细胞浆蛋白等三种主要亚细胞组分。其独特的试剂成分与优化的制备方案使细胞核 - 胞浆 - 胞膜制备过程简单易行，无需特殊设备和超速离心，可在 1 小时内完成。应用本试剂盒制备的胞膜是细胞膜和细胞器膜如线粒体、内质网及质膜的混合物，得到的细胞核是完整的未裂解细胞核，胞浆组分为可溶性胞浆蛋白。制备得到的产物纯度可胜任后续的免疫沉淀、蛋白印迹、2-D gel、酶活性检测和受体分析等实验。

## 特色产品

### Western Blot“快速三剑客”

一小时轻松搞定电泳、转膜和封闭，全面提升 Western Blot 实验效率，助力轻松高效完成免疫印迹实验。

货号	产品名称	规格
B2005	10X 快速电泳液 (10X SDS-PAGE Rapid Running Buffer)	500ml 500ml*5
B2006	10X 免冰浴快速转膜液 (10X WB Rapid Transfer Buffer )	500ml 500ml*5
P1626	无蛋白快速封闭液 (Protein Free Blocking Buffer)	100ml 500ml

#### 10X 快速电泳液 ( 10X SDS-PAGE Rapid Running Buffer )

##### 特点

- ★ 快速省时。200V-250V 恒压电泳，20-30 分钟完成电泳，缩短电泳时间，提高实验效率
- ★ 分离效果好。电泳后蛋白条带平整清晰细腻
- ★ 不会明显产热。甚至比传统电泳液温度稍低，确保电泳条带平整、锐利

#### 10X 免冰浴快速转膜液 ( 10X WB Rapid Transfer Buffer )

##### 特点

- ★ 安全无毒。不含有毒有害成分，无需使用甲醇
- ★ 快速简单，无需冰浴。常温下，25-30 分钟完成转膜，效果与传统转膜液一致或略优
- ★ 兼容性好。适用于手动配制的 Tris-Gly 和 HEPES 等缓冲系统的 SDS-PAGE 凝胶转膜，也适合各类预制胶的转膜

#### 无蛋白快速封闭液 ( Protein Free Blocking Buffer )

##### 特点

- ★ 即开即用，无需配制，使用便捷
- ★ 快速高效，封闭时间短，10-15 分钟即可完成
- ★ 兼容性好，兼容辣根过氧化物酶 (HRP)、碱性磷酸酶 (AP) 和生物素标记的二抗，不干扰检测
- ★ 背景低、信噪比高，优于常规奶粉、BSA、酪蛋白等封闭效果

Western Blot 实验产品列表

货号	产品名称	规格
W0001	飞克 + 皮克 ECL 超敏发光液	100ml
W0002	WesternBlot 快速三剑客 (快速电泳液 快速电转液 无蛋白快速封闭液)	500ml*3
W0003	通用型 Western Blot 抗体稀释液	500ml
W0005	Western Blot 一站式解决方案	100 次
AP0001-1	UltraGel宽范围高分辨配胶试剂盒 (全能胶)	40-50 块
AP0001-2	UltraGel宽范围高分辨配胶试剂盒 (全能胶)	80-100 块
C1050-100	非变性蛋白裂解液	100ml
C1050-500	非变性蛋白裂解液	500ml
C1051-100	组织细胞裂解液 (含脱氧胆酸钠)	100ml
C1051-500	组织细胞裂解液 (含脱氧胆酸钠)	500ml
C1052-50	变性蛋白裂解液	50ml
C1052-200	变性蛋白裂解液	200ml
C1053-100	RIPA 裂解液	100ml
C1053-500	RIPA 裂解液	500ml
C1053+-100	加强型 RIPA 裂解液	100ml
C1053+-500	加强型 RIPA 裂解液	500ml
C1054-100	IP 裂解液	100ml
C1054-500	IP 裂解液	500ml
C1065	人外周血淋巴细胞分离液	200ml
C1066	大鼠外周血淋巴细胞分离液	200ml
C1067	小鼠外周血淋巴细胞分离液	200ml
P5000	Protein A Agarose (Fast Flow, 进口分装)	2ml
P5001	Protein G Agarose (Fast Flow, 进口分装)	2ml
P5002	Protein A+G Agarose (Fast Flow, 进口分装)	2ml
P5003	Protein A 磁珠	1ml
P5004	Protein G 磁珠	1ml
P5005	Protein A+G 磁珠	1ml
C1055	RIPA 裂解液 (带 PMSF)	100ml
C1056-100	肝脏、脂肪细胞专用蛋白裂解液	100ml
C1056-500	肝脏、脂肪细胞专用蛋白裂解液	500ml
C1057-100	NP-40 裂解液	100ml
C1057-500	NP-40 裂解液	500ml
C1311	红细胞裂解液	100ml

货号	产品名称	规格
P1250-50	组织细胞总蛋白提取试剂盒	50 次
P1250-100	组织细胞总蛋白提取试剂盒	100 次
P1255	液体样本总蛋白提取试剂	100 次
P1258-50	植物总蛋白提取试剂	50ml
P1258-100	植物总蛋白提取试剂	100ml
P1259-50	骨蛋白提取试剂	50ml
P1259-100	骨蛋白提取试剂	100ml
P1270-25	细菌蛋白非变性提取试剂	25ml
P1270-100	细菌蛋白非变性提取试剂	100ml
P1271-25	细菌蛋白变性提取试剂	25ml
P1271-100	细菌蛋白变性提取试剂	100ml
P1206-50	磷酸化蛋白提取试剂盒	50 次
P1206-100	磷酸化蛋白提取试剂盒	100 次
P1200-50	细胞核蛋白和胞浆蛋白制备试剂盒	50 次
P1200-100	细胞核蛋白和胞浆蛋白制备试剂盒	100 次
P1201-50	细胞核 - 胞浆蛋白 - 胞膜制备试剂盒	50 次
P1201-100	细胞核 - 胞浆蛋白 - 胞膜制备试剂盒	100 次
P1202-50	细胞核蛋白提取试剂盒	50 次
P1202-100	细胞核蛋白提取试剂盒	100 次
P1203-50	细胞膜蛋白提取试剂盒	50 次
P1203-100	细胞膜蛋白提取试剂盒	100 次
P1205-50	组织细胞总蛋白提取试剂盒	50 次
P1205-100	组织细胞总蛋白提取试剂盒	100 次
C1260-50	线粒体和胞浆蛋白制备试剂盒 (组织和细胞通用)	50 次
C1260-100	线粒体和胞浆蛋白制备试剂盒 (组织和细胞通用)	100 次
C0010-50	升级版线粒体提取试剂盒 (组织和细胞通用)	50 次
C0010-100	升级版线粒体提取试剂盒 (组织和细胞通用)	100 次
AP0002	去乙酰化酶抑制剂混合物 (100x)	1ml
C0013-5	MG-132(Proteasome 抑制剂)	5mg
C0013-25	MG-132(Proteasome 抑制剂)	25mg
P1265-1	蛋白酶抑制剂混合物通用型 (进口原料 Cocktail,50x)	1ml
P1265-2	蛋白酶抑制剂混合物通用型 (进口原料 Cocktail,50x)	2ml
P1275-1	蛋白酶抑制剂混合物通用型 (Cocktail,100x in DMSO)	1ml
P1275-2	蛋白酶抑制剂混合物通用型 (Cocktail,100x in DMSO)	2*1ml

货号	产品名称	规格
P1275-3	蛋白酶抑制剂混合物通用型 (Cocktail, 100x in DMSO)	5*1ml
P1266-1	蛋白酶抑制剂混合物哺乳动物专用 (Cocktail, 100x in DMSO)	1ml
P1266-2	蛋白酶抑制剂混合物哺乳动物专用 (Cocktail, 100x in DMSO)	2*1ml
P1267-1	蛋白酶抑制剂混合物植物专用 (Cocktail, 100x in DMSO)	1ml
P1267-2	蛋白酶抑制剂混合物植物专用 (Cocktail, 100x in DMSO)	2*1ml
P1268-1	蛋白酶抑制剂混合物真菌或酵母专用 (Cocktail, 100x in DMSO)	1ml
P1268-2	蛋白酶抑制剂混合物真菌或酵母专用 (Cocktail, 100x in DMSO)	2*1ml
P1269-1	蛋白酶抑制剂混合物细菌专用 (Cocktail, 100x in DMSO)	1ml
P1269-2	蛋白酶抑制剂混合物细菌专用 (Cocktail, 100x in DMSO)	2*1ml
P1260-1	磷酸酯抑制剂混合物通用型 (All-in-One, 100x)	1ml
P1260-5	磷酸酯抑制剂混合物通用型 (All-in-One, 100x)	5*1ml
P1261	蛋白酶 / 磷酸酯抑制剂混合物哺乳动物专用 (100x)	4ml( 各 2ml)
P1262	蛋白酶 / 磷酸酯抑制剂混合物植物专用 (100x)	4ml( 各 2ml)
P1263	蛋白酶 / 磷酸酯抑制剂混合物真菌或酵母专用 (100x)	4ml( 各 2ml)
P1264	蛋白酶 / 磷酸酯抑制剂混合物细菌专用 (100x)	4ml( 各 2ml)
A1060	苯甲基磺酰氟 PMSF (蛋白酶抑制剂)	1g
P1509	改良 Lowry 法蛋白定量试剂盒	1000 次
P1510	考马斯亮蓝法蛋白质定量试剂盒 (Bradford 法)	2666 次
P1511-1	BCA 法蛋白定量试剂盒	500 次
P1511-2	BCA 法蛋白定量试剂盒	2500 次
P1511-3	BCA 法蛋白定量试剂盒	200 次
P1511-1 万	BCA 法蛋白定量试剂盒	10000 次
P1513-1	BCA 法微量蛋白定量试剂盒	200 次
P1513-2	BCA 法微量蛋白定量试剂盒	500 次
P1513-3	BCA 法微量蛋白定量试剂盒	2500 次
P1512	蛋白定量 BSA 标准品 (4mg/ml)	1ml
P1521-2	总蛋白含量 TP 测定试剂盒	500 次
P1521-3	总蛋白含量 TP 测定试剂盒	2500 次
P1521-1	总蛋白含量 TP 测定试剂盒	200 次
P1516-0.2	SDS-PAGE 浓缩胶红色染料 (200X 可迁移)	0.2ml
P1516-1	SDS-PAGE 浓缩胶红色染料 (200X 可迁移)	1ml
B1007-5	2×SDS-PAGE Loading Buffer 蛋白上样缓冲液 (常用)	5ml
B1007-25	2×SDS-PAGE Loading Buffer 蛋白上样缓冲液 (常用)	25ml
B1012-5	5×SDS-PAGE Loading Buffer 蛋白上样缓冲液 (常用)	5ml

货号	产品名称	规格
B1012-25	5×SDS-PAGE Loading Buffer 蛋白上样缓冲液 (常用)	25ml
B1012-100	5×SDS-PAGE Loading Buffer 蛋白上样缓冲液 (常用)	100ml
B1012-500	5×SDS-PAGE Loading Buffer 蛋白上样缓冲液 (常用)	500ml
B1034-5	5×SDS-PAGE 无气味蛋白上样缓冲液 (常用)	5ml
B1034-25	5×SDS-PAGE 无气味蛋白上样缓冲液 (常用)	25ml
B1030-5	5×SDS-PAGE 非还原性蛋白上样缓冲液 (不含还原剂)	5ml
B1030-25	5×SDS-PAGE 非还原性蛋白上样缓冲液 (不含还原剂)	25ml
B1031-5	2×SDS-PAGE 非还原性蛋白上样缓冲液 (不含还原剂)	5ml
B1031-25	2×SDS-PAGE 非还原性蛋白上样缓冲液 (不含还原剂)	25ml
B1032-5	2×SDS-PAGE 非变性蛋白上样缓冲液 (不含 SDS)	5ml
B1032-25	2×SDS-PAGE 非变性蛋白上样缓冲液 (不含 SDS)	25ml
B1033-5	5×SDS-PAGE 非变性蛋白上样缓冲液 (不含 SDS)	5ml
B1033-25	5×SDS-PAGE 非变性蛋白上样缓冲液 (不含 SDS)	25ml
B1035-5	红色 2×SDS-PAGE 蛋白上样缓冲液	5ml
B1035-25	红色 2×SDS-PAGE 蛋白上样缓冲液	25ml
B1036-5	红色 5×SDS-PAGE 蛋白上样缓冲液	5ml
B1036-25	红色 5×SDS-PAGE 蛋白上样缓冲液	25ml
B1037-5	红色 2×SDS-PAGE 无气味蛋白上样缓冲液	5ml
B1037-25	红色 2×SDS-PAGE 无气味蛋白上样缓冲液	25ml
B1038-5	红色 5×SDS-PAGE 无气味蛋白上样缓冲液	5ml
B1038-25	红色 5×SDS-PAGE 无气味蛋白上样缓冲液	25ml
B1027	SDS-PAGE 凝胶配制试剂盒 (SDS-PAGE Gel Kit)	40-60 块小胶
AP0001-1	UltraGel 广谱超清配胶试剂盒 (全能胶)	40-50 块小胶
AP0001-2	UltraGel 广谱超清配胶试剂盒 (全能胶)	80-100 块小胶
AP2001	一步法 SDS-PAGE 便捷配胶试剂盒 (6%)	125 次
AP2002	一步法 SDS-PAGE 便捷配胶试剂盒 (8%)	125 次
AP2003	一步法 SDS-PAGE 便捷配胶试剂盒 (10%)	125 次
AP2004	一步法 SDS-PAGE 便捷配胶试剂盒 (12.5%)	125 次
AP2005	一步法 SDS-PAGE 便捷配胶试剂盒 (15%)	125 次
AP1012-50	6%SDS-PAGE 配胶试剂盒 (便捷款)	30-50 块
AP1012-100	6%SDS-PAGE 配胶试剂盒 (便捷款)	80-100 块
AP1000-50	8%SDS-PAGE 配胶试剂盒 (便捷款)	30-50 块
AP1000-100	8%SDS-PAGE 配胶试剂盒 (便捷款)	80-100 块
AP1001-50	10%SDS-PAGE 配胶试剂盒 (便捷款)	30-50 块

货号	产品名称	规格
AP1001-100	10%SDS-PAGE 配胶试剂盒 (便捷款)	80-100 块
AP1002-50	12%SDS-PAGE 配胶试剂盒 (便捷款)	30-50 块
AP1002-100	12%SDS-PAGE 配胶试剂盒 (便捷款)	80-100 块
AP1013-50	12.5%SDS-PAGE 配胶试剂盒 (便捷款)	30-50 块
AP1013-100	12.5%SDS-PAGE 配胶试剂盒 (便捷款)	80-100 块
AP1011-50	15%SDS-PAGE 配胶试剂盒 (便捷款)	30-50 块
AP1011-100	15%SDS-PAGE 配胶试剂盒 (便捷款)	80-100 块
AP1016-50	6% 红色 SDS-PAGE 配胶试剂盒 (便捷款)	30-50 块
AP1016-100	6% 红色 SDS-PAGE 配胶试剂盒 (便捷款)	80-100 块
AP1006-50	8% 红色 SDS-PAGE 配胶试剂盒 (便捷款)	30-50 块
AP1006-100	8% 红色 SDS-PAGE 配胶试剂盒 (便捷款)	80-100 块
AP1007-50	10% 红色 SDS-PAGE 配胶试剂盒 (便捷款)	30-50 块
AP1007-100	10% 红色 SDS-PAGE 配胶试剂盒 (便捷款)	80-100 块
AP1008-50	12% 红色 SDS-PAGE 配胶试剂盒 (便捷款)	30-50 块
AP1008-100	12% 红色 SDS-PAGE 配胶试剂盒 (便捷款)	80-100 块
AP1017-50	12.5% 红色 SDS-PAGE 配胶试剂盒 (便捷款)	30-50 块
AP1017-100	12.5% 红色 SDS-PAGE 配胶试剂盒 (便捷款)	80-100 块
AP1009-50	15% 红色 SDS-PAGE 配胶试剂盒 (便捷款)	30-50 块
AP1009-100	15% 红色 SDS-PAGE 配胶试剂盒 (便捷款)	80-100 块
P1101-50	预染色蛋白高分子 Marker (10KDa--250KDa)	50 次 (250ul)
P1103-20	预染色蛋白 Marker (10KDa--180KDa) (进口原料)	20 次 (100ul)
P1103-50	预染色蛋白 Marker (10KDa--180KDa) (进口原料)	50 次 (250ul)
P1105-20	预染色蛋白 Marker (10KDa--180KDa)	20 次 (100ul)
P1105-50	预染色蛋白 Marker (10KDa--180KDa)	50 次 (250ul)
P1105-100	预染色蛋白 Marker (10KDa--180KDa)	100 次 (2*250ul)
P1105-500	预染色蛋白 Marker (10KDa--180KDa)	500 次 (10*250ul)
P1106-50	Western 荧光 Marker (可显影) 12-154KDa	50 次 (250ul)
P1106-100	Western 荧光 Marker (可显影) 12-154KDa	100 次 (2*250ul)
P1110-50	预染色蛋白高分子 Marker (40KDa--300KDa)	50 次 (250ul)
T202205	APPLYGEN 预制胶 Tris-Glycine 6%, 10 孔 1.5mm	10 片 / 盒
T202206	APPLYGEN 预制胶 Tris-Glycine 6%, 15 孔 1.5mm	10 片 / 盒
T202207	APPLYGEN 预制胶 Tris-Glycine 8%, 10 孔 1.5mm	10 片 / 盒
T202208	APPLYGEN 预制胶 Tris-Glycine 8%, 15 孔 1.5mm	10 片 / 盒
T202209	APPLYGEN 预制胶 Tris-Glycine 10%, 10 孔 1.5mm	10 片 / 盒

货号	产品名称	规格
T202210	APPLYGEN 预制胶 Tris-Glycine 10%, 15 孔 1.5mm	10 片 / 盒
T202211	APPLYGEN 预制胶 Tris-Glycine 12%, 10 孔 1.5mm	10 片 / 盒
T202212	APPLYGEN 预制胶 Tris-Glycine 12%, 15 孔 1.5mm	10 片 / 盒
T202213	APPLYGEN 预制胶 Tris-Glycine 15%, 10 孔 1.5mm	10 片 / 盒
T202214	APPLYGEN 预制胶 Tris-Glycine 15%, 15 孔 1.5mm	10 片 / 盒
T202215	APPLYGEN 预制胶 Tris-Glycine 4-15%, 10 孔 1.5mm	10 片 / 盒
T202216	APPLYGEN 预制胶 Tris-Glycine 4-15%, 15 孔 1.5mm	10 片 / 盒
T202217	APPLYGEN 预制胶 Tris-Glycine 4-20%, 10 孔 1.5mm	10 片 / 盒
T202218	APPLYGEN 预制胶 Tris-Glycine 4-20%, 15 孔 1.5mm	10 片 / 盒
T202101	APPLYGEN 蛋白预制胶 (8% Bis-Tris 12 孔) + 电泳粉末 1.0mm	10 片 / 盒
T202102	APPLYGEN 蛋白预制胶 (8% Bis-Tris 15 孔) + 电泳粉末 1.0mm	10 片 / 盒
T202103	APPLYGEN 蛋白预制胶 (10% Bis-Tris 12 孔) + 电泳粉末 1.0mm	10 片 / 盒
T202104	APPLYGEN 蛋白预制胶 (10% Bis-Tris 15 孔) + 电泳粉末 1.0mm	10 片 / 盒
T202105	APPLYGEN 蛋白预制胶 (12% Bis-Tris 12 孔) + 电泳粉末 1.0mm	10 片 / 盒
T202106	APPLYGEN 蛋白预制胶 (12% Bis-Tris 15 孔) + 电泳粉末 1.0mm	10 片 / 盒
T202107	APPLYGEN 蛋白预制胶 (4-12% Bis-Tris 12 孔) + 电泳粉末 1.0mm	10 片 / 盒
T202108	APPLYGEN 蛋白预制胶 (4-12% Bis-Tris 15 孔) + 电泳粉末 1.0mm	10 片 / 盒
T202109	APPLYGEN 蛋白预制胶 (4-20% Bis-Tris 12 孔) + 电泳粉末 1.0mm	10 片 / 盒
T202110	APPLYGEN 蛋白预制胶 (4-20% Bis-Tris 15 孔) + 电泳粉末 1.0mm	10 片 / 盒
T201901	APPLYGEN 蛋白预制胶 (8% Hepes 10 孔) + 电泳粉末 1.5mm	10 片 / 盒
T201902	APPLYGEN 蛋白预制胶 (8% Hepes 15 孔) + 电泳粉末 1.5mm	10 片 / 盒
T201903	APPLYGEN 蛋白预制胶 (10% Hepes 10 孔) + 电泳粉末 1.5mm	10 片 / 盒
T201904	APPLYGEN 蛋白预制胶 (10% Hepes 15 孔) + 电泳粉末 1.5mm	10 片 / 盒
T201905	APPLYGEN 蛋白预制胶 (12% Hepes 10 孔) + 电泳粉末 1.5mm	10 片 / 盒
T201906	APPLYGEN 蛋白预制胶 (12% Hepes 15 孔) + 电泳粉末 1.5mm	10 片 / 盒
T201907	APPLYGEN 蛋白预制胶 (15% Hepes 10 孔) + 电泳粉末 1.5mm	10 片 / 盒
T201908	APPLYGEN 蛋白预制胶 (15% Hepes 15 孔) + 电泳粉末 1.5mm	10 片 / 盒
T201909	APPLYGEN 蛋白预制胶 (4-12% Hepes 10 孔) + 电泳粉末 1.5mm	10 片 / 盒
T201910	APPLYGEN 蛋白预制胶 (4-12% Hepes 15 孔) + 电泳粉末 1.5mm	10 片 / 盒
T201911	APPLYGEN 蛋白预制胶 (4-15% Hepes 10 孔) + 电泳粉末 1.5mm	10 片 / 盒
T201912	APPLYGEN 蛋白预制胶 (4-15% Hepes 15 孔) + 电泳粉末 1.5mm	10 片 / 盒
T201913	APPLYGEN 蛋白预制胶 (4-20% Hepes 10 孔) + 电泳粉末 1.5mm	10 片 / 盒
T201914	APPLYGEN 蛋白预制胶 (4-20% Hepes 15 孔) + 电泳粉末 1.5mm	10 片 / 盒
T201915	APPLYGEN 蛋白预制胶 (8-20% Hepes 10 孔) + 电泳粉末 1.5mm	10 片 / 盒

货号	产品名称	规格
T201916	APPLYGEN 蛋白预制胶 (8-20% HEPES 15 孔) + 电泳粉末 1.5mm	10 片 / 盒
P1000-25	ECL 发光液 (与 P1020 通用)	12.5ml*2
P1000-100	ECL 发光液 (与 P1020 通用)	50ml*2
P1000-250	ECL 发光液 (与 P1020 通用)	125ml*2
P1000-500	ECL 发光液 (与 P1020 通用)	250ml*2
P1010-25	ECL 超敏发光液 (中) (与 P1030 通用)	12.5ml*2
P1010-100	ECL 超敏发光液 (中) (与 P1030 通用)	50ml*2
P1010-250	ECL 超敏发光液 (中) (与 P1030 通用)	125ml*2
P1010-500	ECL 超敏发光液 (中) (与 P1030 通用)	250ml*2
P1050-25	Super ECL Plus 超敏发光液 (强)	12.5ml*2
P1050-100	Super ECL Plus 超敏发光液 (强)	50ml*2
P1050-250	Super ECL Plus 超敏发光液 (强)	125ml*2
P1050-500	Super ECL Plus 超敏发光液 (强)	250ml*2
P1052-100	Super ECL Plus+ 超敏发光液 (高强)	50ml*2
P1052-500	Super ECL Plus+ 超敏发光液 (高强)	250ml*2
P1060-25	飞克级极敏发光液 (极强)	12.5ml*2
P1060-100	飞克级极敏发光液 (极强)	50ml*2
B1067	TMB 显色液 (ELISA、免疫组化等 HRP 显色用)	100ml
B1072	20xDAB 染色液 (A 液和 B 液各 10ml)	20ml
P1503	膜立染 (立春红替代品)	100ml
P1505	胶立染 (考马斯亮蓝染色液替代品)	100ml
P1600	丽春红染色液	100ml
P1501	考马斯亮蓝染色液	100ml
P1502	考马斯亮蓝洗脱液	500ml
P1601-100	膜 - 胶 10 秒快速染色液 (染胶染膜)	100ml
P1601-250	膜 - 胶 10 秒快速染色液 (染胶染膜)	250ml
P1621-25	封闭用牛血清白蛋白 (进口分装)	25g
P1621-50	封闭用牛血清白蛋白 (进口分装)	50g
P1622-100	封闭专用脱脂奶粉 (进口分装)	100g
P1622-500	封闭专用脱脂奶粉 (进口分装)	500g
p1626-100	无蛋白快速封闭液	100ml
p1626-500	无蛋白快速封闭液	500ml
P1650-100	膜再生液 (抗体去除液、抗体剥离液) 温和型	100ml
P1650-500	膜再生液 (抗体去除液、抗体剥离液) 温和型	500ml

货号	产品名称	规格
P1652-100	膜再生液 (抗体去除液、抗体剥离液) 加强型	100ml
P1652-500	膜再生液 (抗体去除液、抗体剥离液) 加强型	500ml
C1240-100	一抗稀释液 (通用型)	100ml
C1240-500	一抗稀释液 (通用型)	500ml
C1243-100	Western Blot 一抗稀释液	100ml
C1243-500	Western Blot 一抗稀释液	500ml
C1245-100	免疫染色一抗稀释液	100ml
C1245-500	免疫染色一抗稀释液	500ml
C1241-100	Western Blot 二抗稀释液	100ml
C1241-500	Western Blot 二抗稀释液	500ml
C1246-100	免疫染色 (非荧光) 二抗稀释液	100ml
C1246-500	免疫染色 (非荧光) 二抗稀释液	500ml
C1248-100	免疫荧光一抗稀释液	100ml
C1247-100	免疫荧光二抗稀释液	100ml
C1247-500	免疫荧光二抗稀释液	500ml
C1242-100	Western Blot 一抗 + 二抗稀释液套装	100+100ml
C1242-500	Western Blot 一抗 + 二抗稀释液套装	500+500ml
C1231	抗体长效保存液	50ml
B1215-1	电转缓冲液粉末	1L*10
B1216-1	Tris-Gly 电泳缓冲液粉末	1L*10
B1218	HEPES 电泳缓冲液粉末	1L*5
B1220	MOPS 电泳缓冲液粉末	1L*5
B1221-1	快速电泳液粉末 (SDS-PAGE Rapid Running Buffer Powder)	1L*10
B1222-1	快速转膜液粉末 (WB Rapid Transfer Buffer Powder)	1L*10
B1217-1	TBS 缓冲液粉末	1L*10
B1214-1	PBS 缓冲液粉末	2L*10
B1214-2	PBS 缓冲液粉末	2L*100
A1005-100	SDS 十二烷基硫酸钠	100g
A1005-500	SDS 十二烷基硫酸钠	500g
A1500	TRIS 三羟甲基氨基甲烷	500g
A1012	Glycine 甘氨酸	500g
A1501-20	MOPS 粉末	20g
A1501-100	MOPS 粉末	100g
A1010	考马斯亮蓝 R250 (粉末)	10g

货号	产品名称	规格
A1011	考马斯亮蓝 G250 (粉末)	10g
E1201	D72 显影粉 (粉末, 可配 1L 溶液)	盒
E1202	D72 定影粉 (粉末, 可配 1L 溶液)	盒
B2005	10X 快速电泳液 ( 10X SDS-PAGE Rapid Running Buffer )	500ml
B2005*5	10X 快速电泳液 ( 10X SDS-PAGE Rapid Running Buffer )	500ml*5
B2006	10X 快速转膜液 ( 10X WB Rapid Transfer Buffer Powder)	500ml
B2006*5	10X 快速转膜液 ( 10X WB Rapid Transfer Buffer Powder)	500ml*5
P1623-100	WesternBlot 快速封闭液	100ml
P1623-100	WesternBlot 快速封闭液	500ml
T202219	Tris-Tricine 阳极缓冲液 (5X)	500ml
T202220	Tris-Tricine 阴极缓冲液 (5X)	500ml
A1004-25	过硫酸铵 AP	25g
A1004-100	过硫酸铵 AP	100g
A1006-5	凝胶配制固化剂 TEMED	5ml
A1006-100	凝胶配制固化剂 TEMED	100ml
A1007-100	吐温 - 20	100ml
A1007-500	吐温 - 20	500ml
A1008	NP - 40	100ml
A1009-100	TritonX-100( 曲拉通 -100)	100ml
A1009-500	TritonX-100( 曲拉通 -100)	500ml
B1001	1.5MTris-HCl pH8.8	500ml
B1002	1MTris-HCl pH6.8	200ml
B1003	浓缩胶缓冲液 (1MTris-HCl pH6.8+0.4%SDS)	200ml
B1004	分离胶缓冲液 (1.5MTris-HCl pH8.8+0.4%SDS)	500ml
B1005	10× 电泳缓冲液 Tris-Gly	500ml 500ml*20
B1006	10× 蛋白电转缓冲液 (转膜液)	500ml 500ml*20
B1028	10× 蛋白电转缓冲液 (半干转)	500ml 500ml*20
B1009-TBST	10× 封闭 - 洗涤缓冲液 (TBST)	500ml 500ml*20
B1009-TBS	10× 封闭 - 洗涤缓冲液 (TBS)	500ml 500ml*20
B1008	10%SDS 溶液	200ml
B1010	1MTris-HCl pH7.4	500ml
B1011	1MTris-HCl pH8.0	500ml
B1000-200	30% 制胶液 (29:1 Acr-Bis)	200ml
B1000-500	30% 制胶液 (29:1 Acr-Bis)	500ml

货号	产品名称	规格
B1000-1	30% 制胶液 (29:1 Acr-Bis) (进口原料)	200ml
B1000-2	30% 制胶液 (29:1 Acr-Bis) (进口原料)	500ml
B1053-200	40% 制胶液 (37.5:1 Acr-Bis)	200ml
B1053-500	40% 制胶液 (37.5:1 Acr-Bis)	500ml
B1204	1×PBS pH6.5 0.01M	500ml
B1205	10×PBS pH6.5 0.1M	500ml
B1201	1×PBS pH7.4 0.01M	500ml
B1015	10×PBS pH7.4 0.1M	500ml
B1203	1×PBS pH8.0 0.01M	500ml
B1016	10×PBS pH8.0 0.1M	500ml
B1202	1×PBST pH7.4	500ml
B1019	10×PBST pH7.4	500ml

### Western Blot 实验常用耗材

货号	产品名称	规格
P2110-2	NC 膜 (硝酸纤维素膜 20×20cm)	2 张
P2110-5	NC 膜 (硝酸纤维素膜 20×20cm)	5 张
P2110-10	NC 膜 (硝酸纤维素膜 20×20cm)	10 张
P2110-20	NC 膜 (硝酸纤维素膜 20×20cm)	20 张
P2120-1	PVDF 膜 (0.45) 26.5cm*95cm	卷
P2120-2	PVDF 膜 (0.45) 26.5cm*375cm	卷
P2120-5	PVDF 膜 (0.45) 13.25*15cm	1 张
P2120-6	PVDF 膜 (0.45) 13.25*15cm	5 张
P2120-3	PVDF 膜 (0.22) 26.5cm*95cm	卷
P2120-4	PVDF 膜 (0.22) 26.5cm*375cm	卷
P2120-7	PVDF 膜 (0.22) 13.25*15cm	1 张
P2120-8	PVDF 膜 (0.22) 13.25*15cm	5 张
P2010	荧光和放射自显影曝光标签	1 个
E1101-1	X 线曝光暗盒 (5x7 英寸) (内含曝光标签和增感屏)	套
E1101-11	X 线曝光暗盒 (5x7 英寸) (内含增感屏)	套
E1101-2	X 线曝光暗盒 (8x10 英寸) 含增感屏	套

货号	产品名称	规格
E1112	富士 X 光胶片 (5x7 英寸)	盒
E1113	富士 X 光胶片 (8x10 英寸)	盒
E1111-1	X 光胶片高速增感屏 (感蓝光) 5*7 寸	套
E1111-2	X 光胶片高速增感屏 (感蓝光) 8*10 寸	套
E1205	杂交袋 (18cm*28cm WesternBlot 抗体孵育专用)	100 张
P3000-1	WesternBlot 抗体孵育盒五格 (小号, 12.5cm 长 ×6cm 宽 ×2.5cm 高)	个
P3000-2	WesternBlot 抗体孵育盒五格 (中号, 14.3cm 长 ×9.5cm 宽 ×3.5cm 高)	个
P3000-3	WesternBlot 抗体孵育盒五格 (大号, 17.5cm 长 ×9cm 宽 ×3.2cm 高)	个
P3000-4	WesternBlot 抗体孵育盒一格 (小号, 9cm 长 ×6cm 宽 ×3cm 高)	个
P3000-5	WesternBlot 抗体孵育盒一格 (中号, 14.5cm 长 ×9cm 宽 ×4.0cm 高)	个
P3000-6	WesternBlot 抗体孵育盒六格 (大号, 19.5cm 长 ×10.5cm 宽 ×3.5cm 高)	个
P3000-7	双面多功能抗体孵育盒	个
T1001-0.5	玻璃匀浆器 0.5ml 5 个	5 个
T1001-1	玻璃匀浆器 1ml 5 个	5 个
E1206-10	普通滤纸 (60cm×60cm)	10 张
E1206-50	普通滤纸 (60cm×60cm)	50 张
E1206-100	普通滤纸 (60cm×60cm)	100 张
E1027-100	普通滤纸 (7cm×9cm)	100 张
E1027-500	普通滤纸 (7cm×9cm)	500 张
1703965	伯乐滤纸 7.5*10cm	60 张 / 包
1703966	伯乐滤纸 7*8.4cm	60 张 / 包
E1208-100	滤纸 7.5*10cm (可替代伯乐 1703965)	100 张 / 包
P2000	聚丙烯酰胺凝胶干胶装置 (含干胶薄膜 40 张)	中胶
P2001	聚丙烯酰胺凝胶干胶用透明薄膜	40 张中胶
TB6280	塑料 WB 镊子	5 把
TB6288	WB 专用金属平头镊子	2 把
TB6343	曝光专用膜	100 片
T031208	电泳槽电源线	个
T031300	垂直槽槽内固定架 (总)	个
T031500	垂直槽电极芯 (总)	个
T031502	垂直槽主芯密封条	2 个
T031503	垂直槽单胶堵板	2 个
T031504	凝胶厚玻璃板 0.75mm	5 片
T031505	凝胶厚玻璃板 1.0mm	5 片

货号	产品名称	规格
T031506	凝胶厚玻璃板 1.5mm	5 片
T031507	凝胶短玻璃板	10 片
T031600	垂直槽制胶支架 (含密封条)	个
T031601	垂直槽制胶支架	个
T031604	垂直槽制胶支架密封条 (2 个 / 包)	2 个
T031700	垂直槽夹胶框	个
T031801	垂直槽样品梳齿 (0.75mm10 孔) 5 个 / 包	5 个
T031802	垂直槽样品梳齿 (0.75mm15 孔) 5 个 / 包	5 个
T031803	垂直槽样品梳齿 (1.0mm10 孔) 5 个 / 包	5 个
T031804	垂直槽样品梳齿 (1.0mm15 孔) 5 个 / 包	5 个
T031805	垂直槽样品梳齿 (1.5mm10 孔) 5 个 / 包	5 个
T031806	垂直槽样品梳齿 (1.5mm15 孔) 5 个 / 包	5 个
T031903	垂直槽剥胶铲	2 个
T051200	Mini4 P-4 电泳上盖 (含红黑导线)	个
T051100	Mini4 P-4 电泳下盖	个
T021001	转移电泳槽芯 (标配)	个
T031100	Mini3 下槽底壳 (总)	个
T031200	Mini3 上槽盖 (总)	个
TB6058	玻璃板、X 光片晾片架	4 个
TB6078	10 孔上样托架	个
TB6079	15 孔上样托架	个
TB6080	U 型密封圈	2 条
TB6088	P3 两块胶电泳仪上槽	个
TB6089	P3 两块胶电泳仪下槽	个
TB6100	吸水纸条 500 张 / 包	包
TB6102-6*6	凝胶托盘 6*6cm	个
TB6102-6*12	凝胶托盘 6*12cm	个
TB6102-12*6	凝胶托盘 12*6cm	个
TB6102-12*12	凝胶托盘 12*12cm	个
TB6103	制胶托盘	个
TB6104	水平电泳梳	个
TB6111	WB 专用滚子 blotroller 120mm*150mm (大)	个
TB6112	WB 专用滚子 blotroller 80mm*125mm (小)	个
TB6288	WB 专用金属平头镊子	2 把

货号	产品名称	规格
TB6359	计时器	5 个
TB6360	浮漂	10 个
TB6113-1	电转夹、三明治夹子 8.7*6.5cm	个
TB6113-2	电转夹、三明治夹子 11*10cm	个
TB6115	海绵垫 白色	4 片
TB6116	海绵垫 黑色	4 片
TB6118	电转小冰盒	2 个
TB6122	电极芯电转芯灯笼头	2 个
TB6123	电转冰盒	2 个
TB6124	电转冰盒	个
T031000	Mini3 垂直电泳槽 (0.75mm 标配)	个
T031001	Mini3 垂直电泳槽 (1.0mm 标配)	个
T031002	Mini3 垂直电泳槽 (1.5mm 标配)	个
T041000	Mini4 四块胶垂直电泳槽 (0.75mm 标配)	个
T041001	Mini4 四块胶垂直电泳槽 (1.0mm 标配)	个
T041002	Mini4 四块胶垂直电泳槽 (1.5mm 标配)	个
TB6141	国产封口机 30cm	个
TB6143	染色脱色盒 12*12cm	个
TB6144	染色脱色盒 20*20cm	个
TB6145	染色脱色盒 10*10cm	个
TB6146	染色脱色盒 7*10cm	2 个
TB6147	染色脱色盒 10*13cm	2 个
TB6159	50ml 离心管托架	5 个
T031201	电泳槽外壳 (通用伯乐)	套
TB8001	六一 1.0mm 玻璃板	个
TB8002	六一 1.5mm 玻璃板	个
TB8003	六一短玻璃板	个
TB8004	六一梳子 1.0mm 10 孔	个
TB8005	六一梳子 1.0mm 15 孔	个
TB8006	六一梳子 1.5mm 10 孔	个
TB8007	六一梳子 1.5mm 15 孔	个
TB8008	六一 24DN 制胶器	个

部分引用文章节选：

Xu Y, Zhao J, Ren Y, et al. Derivation of totipotent-like stem cells with blastocyst-like structure forming potential[J]. Cell Research, 2022, 32(6): 513-529 (IF:46.3)

Li, S., Yang, M., Shen, H., et al. Capturing totipotency in human cells through spliceosomal repression. Cell 187, 3284-3302.e23,2004 (IF:45.5)

Su S, Zhao J, Xing Y, et al. Immune checkpoint inhibition overcomes ADCP-induced immunosuppression by macrophages[J]. Cell, 2018, 175(2): 442-457. e23 (IF:45.5)

Pan, Z., Xu, T., Bao, L. et al. CREB3L1 promotes tumor growth and metastasis of anaplastic thyroid carcinoma by remodeling the tumor microenvironment. Mol Cancer 21, 190 (2022) (IF:41.4)

Yan H, Liu W, Xiang R, et al. Ribosomal modification protein rimK-like family member A activates betaine-homocysteine S-methyltransferase 1 to ameliorate hepatic steatosis[J]. Signal Transduction and Targeted Therapy, 2024, 9(1): 214 (IF:40.8)

Cai J, Zhang W, Lu Y, et al. Single-cell exome sequencing reveals polyclonal seeding and TRPS1 mutations in colon cancer metastasis[J]. Signal Transduction and Targeted Therapy, 2024, 9(1): 247 (IF:40.8)

Zhu Q, Ma Y, Liang J, et al. AHR mediates the aflatoxin B1 toxicity associated with hepatocellular carcinoma[J]. Signal transduction and targeted therapy, 2021, 6(1): 299 (IF:40.8)

Qian Y, Wang Z, Lin H, et al. TRIM47 is a novel endothelial activation factor that aggravates lipopolysaccharide-induced acute lung injury in mice via K63-linked ubiquitination of TRAF2[J]. Signal Transduction and Targeted Therapy, 2022, 7(1): 148 (IF:38.1)

Li F, Si W, Xia L, et al. Positive feedback regulation between glycolysis and histone lactylation drives oncogenesis in pancreatic ductal adenocarcinoma. Mol Cancer 23, 90 (2024) (IF:37.3)

Xiao, K., Zhang, DC., Hu, Y. et al. Potential roles of vitamin D binding protein in attenuating liver injury in sepsis. Military Med Res 9, 4 (2022) (IF:34.9)

Liu S, Liu C, Lv X, et al. The chemokine CCL1 triggers an AMFR-SPRY1 pathway that promotes differentiation of lung fibroblasts into myofibroblasts and drives pulmonary fibrosis. Immunity, 2021, 54(9): 2042-2056. e8 (IF:31.8)

Zhang L, Jing D, Jiang N, et al. Transformable peptide nanoparticles arrest HER2 signalling and cause cancer cell death in vivo[J]. Nature nanotechnology, 2020, 15(2): 145-153 (IF:31.5)

Wang X, Zhou S, Hu X, et al. Candida albicans accelerates atherosclerosis by activating intestinal hypoxia-inducible factor2α signaling. Cell Host Microbe. 2024 May 13:S1931-3128(24)00137-9. doi: 10.1016/j.chom.2024.04.017. Epub ahead of print. PMID: 38754418 (IF:30.3)

Lv J, Liu Y, Mo S, et al. Gasdermin E mediates resistance of pancreatic adenocarcinoma to enzymatic digestion through a YBX1–mucin pathway[J]. Nature cell biology, 2022, 24(3): 364-372 (IF:28.2)

Han P, Zhou X H, Chang N, et al. Hydrogen peroxide primes heart regeneration with a derepression mechanism[J]. Cell research, 2014, 24(9): 1091-1107 (IF:28.1)

Pan Y M, Wang C G, Zhu M, et al. STAT3 signaling drives EZH2 transcriptional activation and mediates poor prognosis in gastric cancer[J]. Molecular cancer, 2016, 15: 1-14 (IF:27.7)

Zha, Xu et al. Microbiota-derived lysophosphatidylcholine alleviates Alzheimer's disease pathology via suppressing ferroptosis. Cell Metabolism, Volume 37, Issue 1, 169 - 186.e9 (IF:27.7)

Shi M, Liu D, Duan H, et al. Catecholamine up-regulates MMP-7 expression by activating AP-1 and STAT3 in gastric cancer[J]. Molecular cancer, 2010, 9: 1-14 (IF:27.7)

Liu Y, Zhou N, Zhou L I, et al. IL-2 regulates tumor-reactive CD8+ T cell exhaustion by activating the aryl hydrocarbon receptor[J]. Nature immunology, 2021, 22(3): 358-369 (IF:25.6)

Wang S, Liu C, Zhang C, et al. A-to-I RNA-Editing: an epigenetic Hallmark cannot be ignored in silencing the Tumor Microenvironment and is Promising in Predicting Immunotherapy response for esophageal squamous cell carcinoma[J]. Gastroenterology, 2023, 165(1): 275-278. e8 (IF:25.7)

Shi, N., Yang, Q., Zhang, H. et al. Restoration of dystrophin expression in mice by suppressing a nonsense mutation through the incorporation of unnatural amino acids. Nat Biomed Eng 6, 195–206 (2022) (IF:25.7)

Yuying Liu, Xiaoyu Liang, Wenqian Dong, et al. Tumor-Repopulating Cells Induce PD-1 Expression in CD8+ T Cells by Transferring Kynurenine and AhR Activation, Cancer Cell, Volume 33, Issue 3, 2018 (IF:22.8)

Wang, Z., Lv, J., Yu, P. et al. SARS-CoV-2 treatment effects induced by ACE2-expressing microparticles are explained by the oxidized cholesterol-increased endosomal pH of alveolar macrophages. Cell Mol Immunol 19, 210–221 (2022) (IF:22.1)

Zhang, K., Wang, Y., Chen, S. et al. TREM2hi resident macrophages protect the septic heart by maintaining cardiomyocyte homeostasis. Nat Metab 5, 129–146 (2023) (IF:20.8)

Liu, Y., Lv, J., Liu, J. et al. Mucus production stimulated by IFN-AhR signaling triggers hypoxia of COVID-19. Cell Res 30, 1078–1087 (2020) (IF:20.5)

Zheng, X., Zhang, Y., Zhang, L. et al. Tauroithocholic acid protects against viral haemorrhagic fever via inhibition of ferroptosis. Nat Microbiol 9, 2583–2599 (2024) (IF:20.5)

Dan Lu, Liu, L., Sun, Y. et al. The phosphatase PAC1 acts as a T cell suppressor and attenuates host antitumor immunity. Nat Immunol 21, 287–297 (2020) (IF:20.5)

Peng B, Wang Q, Zhang F, et al. Mouse totipotent blastomere-like cells model embryogenesis from zygotic genome activation to post implantation[J]. Cell Stem Cell, 2025, 32(3):391-408.e11 (IF:20.4)

Wang J, Shao F, Yang Y, et al. A non - metabolic function of hexokinase 2 in small cell lung cancer: promotes cancer cell stemness by increasing USP11 - mediated CD133 stability[J]. Cancer Communications, 2022, 42(10): 1008-1027 (IF:20.1)

Liu C, Zheng S, Wang Z, et al. KRAS - G12D mutation drives immune suppression and the primary resistance of anti - PD - 1/PD - L1 immunotherapy in non - small cell lung cancer[J]. Cancer Communications, 2022, 42(9): 828-847 (IF:20.1)

Li, S., Zhu, M., Pan, R. et al. The tumor suppressor PTEN has a critical role in antiviral innate immunity. Nat Immunol 17, 241–249 (2016) (IF:20.0)

Jin J, Zhang L, Li X, et al. Oxidative stress-CBP axis modulates MOB1 acetylation and activates the Hippo signaling pathway[J]. Nucleic Acids Research, 2022, 50(7): 3817-3834 (IF:19.2)

Gao, Y., Zhang, H., Zhou, N. et al. Methotrexate-loaded tumour-cell-derived microvesicles can relieve biliary obstruction in patients with extrahepatic cholangiocarcinoma. Nat Biomed Eng 4, 743–753 (2020) (IF:18.9)

Yi-kun Zhou, Chun-shan Han, Zi-lu Zhu, et al. M2 exosomes modified by hydrogen sulfide promoted bone regeneration by moesin mediated endocytosis, Bioactive Materials, Volume 31, 2024 (IF:18.9)

Xiong W, Cheng Z, Chen H, et al. Biomimetic Tumor Cell Membrane - Encapsulated Nanoparticles Combine NIR - II Photothermal Therapy and Chemotherapy for Enhanced Immunotherapy in Triple - Negative Breast Cancer[J]. Advanced Functional Materials, 2024: 2410841 (IF:18.5)

Liu X, Si W, He L, et al. The existence of a nonclassical TCA cycle in the nucleus that wires the metabolic-epigenetic circuitry. Signal Transduct Target Ther. 2021;6(1):375 (IF:18.2)

Li P, Xie Y, Wang J, et al. Gene engineered exosome reverses T cell exhaustion in cancer immunotherapy[J]. Bioactive Materials, 2024, 34: 466-481 (IF:18.0)

Zhou, X., Zhang, C., Wu, X. et al. Dusp6 deficiency attenuates neutrophil-mediated cardiac damage in the acute inflammatory phase of myocardial infarction. Nat Commun 13, 6672 (2022) (IF:17.7)

Song, J., Zhao, W., Zhang, X. et al. Mutant RIG-I enhances cancer-related inflammation through activation of circRIG-I signaling. Nat Commun 13, 7096 (2022) (IF:17.7)

Zhao, M., Wei, H., Li, C. et al. Gut microbiota production of trimethyl-5-aminovaleric acid reduces fatty acid oxidation and accelerates cardiac hypertrophy. Nat Commun 13, 1757 (2022) (IF:17.7)

Xiao, K., Zhang, N., Li, F. et al. Pro-oxidant response and accelerated ferroptosis caused by synergetic Au(I) release in hypercarbon-centered gold(I) cluster prodrugs. Nat Commun 13, 4669 (2022) (IF:17.7)

Z. Lin, Y. Li, Y. Hang, C. et al. Tuning the Size of Large Dense-Core Vesicles and Quantal Neurotransmitter Release via Secretogranin II Liquid-Liquid Phase Separation. Adv. Sci. 2022, 9, 2202263 (IF:17.5)

W. Feng, Y. Xiao, C. Zhao, et al. New Deferric Amine Compounds Efficiently Chelate Excess Iron to Treat Iron Overload Disorders and to Prevent Ferroptosis. Adv. Sci. 2022, 9 (IF:17.5)

Wang T, Zhang W, Chen W, et al. As4S4 nanoparticles promote effective terminal erythropoiesis in bone marrow mononuclear cells from patients with myelodysplastic syndromes[J]. Nano Today, 2023, 52: 101965 (IF:17.4)

Zhang X, Wei M, Fan J, et al. Ischemia-induced upregulation of autophagy preludes dysfunctional lysosomal storage and associated synaptic impairments in neurons[J]. *Autophagy*, 2021, 17(6): 1519-1542. (2021) (IF:16.8)

W. Huang, J. Zhang, M. Huo, J. et al. CUL4B Promotes Breast Carcinogenesis by Coordinating with Transcriptional Repressor Complexes in Response to Hypoxia Signaling Pathway. *Adv. Sci.* 2021, 8, 2001515 (IF:16.8)

Liu R , Xie Y , Xu J R .Engineered stem cell biomimetic liposomes carrying levamisole for macrophage immunity reconstruction in leukemia therapy[J].*Chemical engineering journal*, 2022:447 (IF:16.7)

Hu C Q, Hou T, Xiang R, et al. PANX1-mediated ATP release confers FAM3A's suppression effects on hepatic gluconeogenesis and lipogenesis[J]. *Military Medical Research*, 2024, 11(1): 41 (IF:16.7)

Liu X, Chen Z, Xu C, et al. Repression of hypoxia-inducible factor  $\alpha$  signaling by Set7-mediated methylation[J]. *Nucleic acids research*, 2015, 43(10): 5081-5098 (IF:16.6)

Cai, C., Ma, H., Peng, J. et al. USP25 regulates KEAP1-NRF2 anti-oxidation axis and its inactivation protects acetaminophen-induced liver injury in male mice. *Nat Commun* 14, 3648 (2023) (IF:16.6)

Zhou, W., Wang, W., Liang, Y. et al. The RNA-binding protein LRPPRC promotes resistance to CDK4/6 inhibition in lung cancer. *Nat Commun* 14, 4212 (2023) (IF:16.6)

Li R , Lu Y , Zhang Q ,et al.Piperine promotes autophagy flux by P2RX4 activation in SNCA/ $\alpha$ -synuclein-induced Parkinson disease model[J].*Autophagy*[2025-09-24] (IF:16.0)

Cui Z , Wang H , Qin L ,et al.Probing the Structural Elements of Polysaccharide Adjuvants for Enhancing Respiratory Mucosal Response: From Surmounting Multi-Obstacles to Eliciting Cascade Immunity[J].[2025-09-24] (IF:16.0)

Lai, P., Miao, G., Zhao, Y. et al. SR-A3 suppresses AKT activation to protect against MAFLD by inhibiting XIAP-mediated PTEN degradation. *Nat Commun* 16, 2430 (2025) (IF:15.7)

Zhou, Z., Liu, Y., Wang, Y. et al. Engineering aptamer-directed phosphatase recruiting chimeras: a strategy for modulating receptor function and overcoming drug resistance. *Nat Commun* 16, 3919 (2025) (IF:15.7)

Yang, X., Li, W., Yang, S. et al. Gene Therapy with Enterovirus 3C Protease: A Promising Strategy for Various Solid Tumors. *Nat Commun* 16, 4298 (2025) (IF:15.7)

Liu J, Shen T, Zhang Y, et al. Cell dehydration enables massive production of engineered membrane vesicles with therapeutic functions[J]. *Journal of Extracellular Vesicles*, 2024, 13(7): e12483 (IF:15.5)

Fan, Pi., Lai, Hq., Wang, Hy. et al. CKLF1 disrupts microglial efferocytosis following acute ischemic stroke by binding to phosphatidylserine. *Cell Death Differ* 32, 1499–1517 (2025) (IF:15.4)

Xiong, G., Yun, F., Jiang, L. et al. NDUFS3 promotes proliferation via glucose metabolism reprogramming inducing AMPK phosphorylating PRPS1 to increase the purine nucleotide synthesis in melanoma. *Cell Death Differ* (2025) (IF:15.4)

Zhou P, Qin J, Zhou C, et al. Multifunctional nanoparticles based on a polymeric copper chelator for combination treatment of metastatic breast cancer[J]. *Biomaterials*, 2019, 195: 86-99. (2019) (IF:12.8)

He, L., Liu, X., Yang, J. et al. Imbalance of the reciprocally inhibitory loop between the ubiquitin-specific protease USP43 and EGFR/PI3K/AKT drives breast carcinogenesis. *Cell Res* 28, 934–951 (2018) (IF:15.4)

Ma C , Liu K , Wang F ,et al.Neutrophil membrane-engineered Panax ginseng root-derived exosomes loaded miRNA 182-5p targets NOX4/Drp-1/NLRP3 signal pathway to alleviate acute lung injury in sepsis: experimental studies[J].*International Journal of Surgery*, 2024, 110(1):15 (IF:15.3)

Yu Z , Chen W , Zhang L ,et al.Gut-derived bacterial LPS attenuates incubation of methamphetamine craving via modulating microglia[J].*Brain, Behavior and Immunity*, 2023, 111(000):15 (IF:15.1)

Z.-W. S , Wang X , Zhao Y ,et al.Blood-brain barrier dysfunction mediated by the EZH2-Claudin-5 axis drives stress-induced TNF- $\alpha$  infiltration and depression-like behaviors[J].*Brain, Behavior, and Immunity*, 2024:115 (IF:15.1)

Yu J, Xiang Y, Gao Y, et al. PKC $\alpha$  inhibitors promote breast cancer immune evasion by maintaining PD-L1 stability[J]. *Acta Pharmaceutica Sinica B*, 2024. (2024) (IF:14.7)

Zhang C, Bo R, Zhou T, et al. The raphe nuclei are the early lesion site of gastric  $\alpha$ -synuclein propagation to the substantia nigra[J]. *Acta Pharmaceutica Sinica B*, 2024, 14(5): 2057-2076. (2024) (IF:14.7)

Zhang J, Wang B, Gao X, et al. RNF185 regulates proteostasis in Ebolavirus infection by crosstalk between the calnexin cycle, ERAD, and reticulophagy[J]. *Nature Communications*, 2022, 13(1): 6007. (2022) (IF:14.7)

Du X, Di Malta C, Fang Z, et al. Nuciferine protects against high-fat diet-induced hepatic steatosis and insulin resistance via activating TFEB-mediated autophagy-lysosomal pathway[J]. *Acta Pharmaceutica Sinica B*, 2022, 12(6): 2869-2886. (2022) (IF:14.7)

Zhao Z, Li F, Ning J, et al. Novel compound FLZ alleviates rotenone-induced PD mouse model by suppressing TLR4/MyD88/NF- $\kappa$ B pathway through microbiota-gut-brain axis[J]. *Acta Pharmaceutica Sinica B*, 2021, 11(9): 2859-2879. (2021) (IF:14.7)

Tang C, Wang M, Wang P, et al. Neural stem cells behave as a functional niche for the maturation of newborn neurons through the secretion of PTN[J]. *Neuron*, 2019, 101(1): 32-44. e6. (2019) (IF:14.7)

Liu Q, Liu S, Gao L, et al. Anti-diabetic effects and mechanisms of action of a Chinese herbal medicine preparation JQ-R in vitro and in diabetic KKAy mice[J]. *Acta pharmaceutica sinica B*, 2017, 7(4): 461-469. (2017) (IF:14.7)

Zhao, Z., Ning, J., Bao, Xq. et al. Fecal microbiota transplantation protects rotenone-induced Parkinson's disease mice via suppressing inflammation mediated by the lipopolysaccharide-TLR4 signaling pathway through the microbiota-gut-brain axis. *Microbiome* 9, 226 (2021) (IF:14.7)

Zhang M Q, Li J R, Yang L, et al. ATG10S promotes IFNL1 expression and autophagic degradation of multiple viral proteins mediated by IFNL1[J]. *Autophagy*, 2024 (just-accepted) (IF:14.6)

Wang H, Ye J, Peng Y, et al. CKLF induces microglial activation via triggering defective mitophagy and mitochondrial dysfunction[J]. *Autophagy*, 2024, 20(3): 590-613 (IF:14.6)

Zhang J, Tian Y, Xu X, et al. PLD1 promotes spindle assembly and migration through regulating autophagy in mouse oocyte meiosis[J]. Autophagy, 2024: 1-23 (IF:14.6)

Chen Y D, Lin X P, Ruan Z L, et al. PLK2-mediated phosphorylation of SQSTM1 S349 promotes aggregation of polyubiquitinated proteins upon proteasomal dysfunction[J]. Autophagy, 2024: 1-17 (IF:14.6)

Ma Z, Chen W, Liu Y, et al. Artesunate Sensitizes human hepatocellular carcinoma to sorafenib via exacerbating AFAP1L2-SRC-FUNDC1 axis-dependent mitophagy[J]. Autophagy, 2024, 20(3): 541-556 (IF:14.6)

Fu S, Sun H, Wang J, et al. Impaired neuronal macroautophagy in the prelimbic cortex contributes to comorbid anxiety-like behaviors in rats with chronic neuropathic pain[J]. Autophagy, 2024: 1-18 (IF:14.6)

Huang X R, Ye L, An N, et al. Macrophage autophagy protects against acute kidney injury by inhibiting renal inflammation through the degradation of TARM1[J]. Autophagy, 2024 (just-accepted) (IF:14.6)

Li R, Lu Y, Zhang Q, et al. Piperine promotes autophagy flux by P2RX4 activation in SNCA/α-synuclein-induced Parkinson disease model[J]. Autophagy, 2022, 18(3): 559-575 (IF:14.6)

Chen Z, Ouyang C, Zhang H, et al. Vascular smooth muscle cell-derived hydrogen sulfide promotes atherosclerotic plaque stability via TFEB (transcription factor EB)-mediated autophagy[J]. Autophagy, 2022, 18(10): 2270-2287 (IF:14.6)

Wang B, Zhang J, Liu X, et al. Protein disulfide isomerases (PDIs) negatively regulate ebolavirus structural glycoprotein expression in the endoplasmic reticulum (ER) via the autophagy-lysosomal pathway[J]. Autophagy, 2022, 18(10): 2350-2367 (IF:14.6)

Zhang X, Wei M, Fan J, et al. Ischemia-induced upregulation of autophagy precludes dysfunctional lysosomal storage and associated synaptic impairments in neurons[J]. Autophagy, 2021, 17(6): 1519-1542 (IF:14.6)

Zhang M Q, Zhao Q, Zhang J P. A new transcription factor ATG10S activates IFNL2 transcription by binding at an IRF1 site in HepG2 cells[J]. Autophagy, 2020, 16(12): 2167-2179 (IF:14.6)

Li G, Yang J, Yang C, et al. PTENα regulates mitophagy and maintains mitochondrial quality control[J]. Autophagy, 2018, 14(10): 1742-1760 (IF:14.6)

Ma K, Fu W, Tang M, et al. PTK2-mediated degradation of ATG3 impedes cancer cells susceptible to DNA damage treatment[J]. Autophagy, 2017, 13(3): 579-591.9 (IF:14.6)

Huang X R, Ye L, An N, et al. Macrophage autophagy protects against acute kidney injury by inhibiting renal inflammation through the degradation of TARM1[J]. Autophagy, 2025(1):21 (IF:14.6)

He L, Yu C, Qin S, et al. The proteasome component PSMD14 drives myelomagenesis through a histone deubiquitinase activity[J]. Molecular Cell, 2023, 83(22): 4000-4016. e6 (IF:14.5)

Yan W, Wu H, Wu Y, et al. Exercise Induced Endothelial Mesenchymal Transition (EndMT) Facilitates Meniscal Fibrocartilage Regeneration[J]. Advanced Science, 2024: 2403788 (IF:14.3)

Su W, Ahmad I, Wu Y, et al. Furin Egress from the TGN is Regulated by Membrane - Associated RING - CH Finger (MARCF) Proteins and Ubiquitin - Specific Protease 32 (USP32) via Nondegradable K33 - Polyubiquitination[J]. Advanced Science, 2024, 11(35): 2403732 (IF:14.3)

## 优势产品

WB 一站式解决方案	全系列 ECL 发光液	全能胶
快速三剑客	脂代谢	糖代谢
肝功能	肾功能	铁死亡
线粒体	细胞凋亡	氧化应激
细胞增殖	能量代谢指标检测	细胞培养
细胞转染	免疫组化	特殊染色